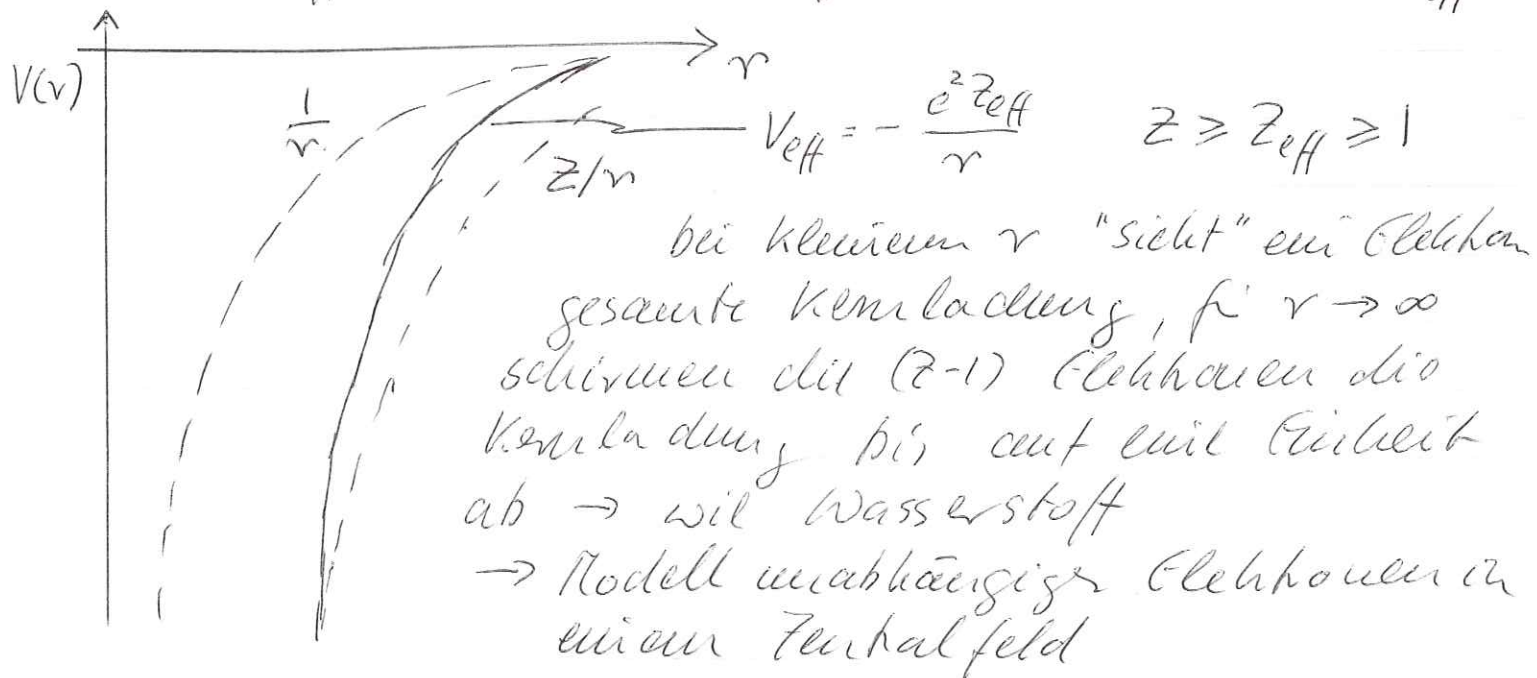


1.5 Energieniveaus von Atomen

- Einfachste Atome: diejenigen mit 1 Elektron in äußerster Schale, Alkaliatome Li, Na, K, Rb, Cs, Fr
da abgeschlossene Schale inner $L=0, S=0, J=0$
 ~ Grundzustand eines $^2S_{1/2}$
 wasserstoffähnlich mit effektivem Potential $V(r)$



NB: werden sehen, Atome kann man in einem auf ähnlichem Schalenmodell behandelt werden, ein Photon sieht effektives 'Potential', das durch $Z-1$ andere Photonen und n Neutronen aufgebaut wird (allerdings nicht am Coulomb-WW)

diese Potentialform hebt Entartung der Wasserstoff-Niveaus auf, d.h. daß

$$E_n(s) < E_n(p) < E_n(d) < E_n(f)$$

- Aufspaltung am größten für kleine n , nimmt mit n ab
- niedrigste s-Niveaus grundsätzlich stark gebunden als in H, Absehung nimmt mit l ab \Rightarrow Fig. I-11

für große n (und damit große r) lassen sich Energieniveaus durch Wasserstoffähnliche Lösung weit einander voneinander beschreiben

$$E_{n,l} = -\frac{E_0}{n_{\text{eff}}^2} = -\frac{E_0}{(n-\delta n_e)^2} = \frac{E_0}{n^2} \frac{1}{(1-\delta/n)^2}$$

effektive Hauptquantenzahl $\equiv n - \text{Quantendefekt}$

δn_e enthält Abweichung von H durch

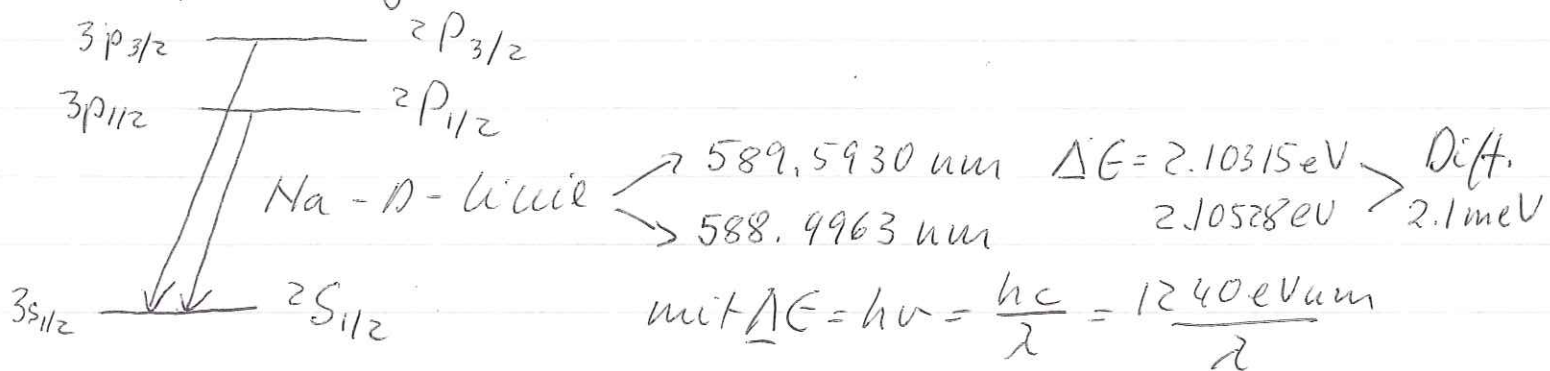
- Modifikation Coulombpotential
- aber auch Polarisation der abgeschlossenen Schalen durch äußeres Elektron
- Austausch WW, wenn äußeres Elektron klein, l hat; δn_e hängt nur schwach von n ab

Beispiel Na: $\delta_{30} = 1.373$ $\delta_{31} = 0.883$ $\delta_{32} = 0.010$

Fig. 1-12

durch (kleine) Spin-Bahn WW

Aufspaltung der P-Niveaus in $^2P_{3/2}$ und $^2P_{1/2}$



entsprechende Aufspaltung $^2D_{3/2}, 5/2$ etc.

Störung der Energieeigenzustände durch Spin-Bahn-Kopplung

Erinnerung an Wasserstoff: $E_{2P_{3/2}} - E_{2P_{1/2}} = 4.5 \cdot 10^{-5} \text{ eV}$

$$\Delta E_{FS} \propto \frac{2^2 \alpha^2}{n} E_n \propto \frac{2^4 \alpha^4}{n^3}$$

als Erwartungswert von $\frac{5 \cdot L}{r^3}$

Effekt nimmt stark mit z zu, auch wenn je

nach (n, ℓ) ein verschiedenes Zustand beobacht werden kann.

• Kohlenstoff: $1s^2 2s^2 2p^2$ Grundzustandskonfiguration hat totalem Spin $S=1$ (sym. Triplet), totalem Bahndrehimpuls $L=1$ $\vec{J}=0$ 3P_0 (1.-3. Hundsch. Regel) aus $2p^2$ Konfiguration können eine Reihe von Zuständen gebildet werden

$$S=1 \quad L=1 \quad \vec{J}=0, 1, 2 \quad {}^3P_0, {}^3P_1, {}^3P_2$$

aber auch $S=0$ (antisym. Singulett)

$$S=0 \quad L=0 \quad \vec{J}=0 \quad {}^1S_0$$

$$S=0 \quad L=2 \quad \vec{J}=2 \quad {}^1D_2$$

aus Symmetriegründen Kein $S=1 \quad L=0, 2$ sym Ort
" " Kein $S=0 \quad L=1$ antisym Ort

grundsätzlich werden Kopplungen im Drehimpuls durch Clebsch-Gordan Koeffizienten quantifiziert

$$\Psi_{L,M,\ell_1\ell_2} = \sum_{m_1, m_2} (\ell_1, m_1; \ell_2, m_2 | LM) \Psi_{\ell_1 m_1} \Psi_{\ell_2 m_2}$$

$$\text{z.B. } L=1 \quad M=1 \quad (1, 1; 1, 0 | 1, 1) = \frac{1}{\sqrt{2}}$$

$$(1, 0; 1, 1 | 1, 1) = -\frac{1}{\sqrt{2}}$$

$$\Psi_{1,1,1,1} = \frac{1}{\sqrt{2}} (|1, 1\rangle |1, 0\rangle - |1, 0\rangle |1, 1\rangle) \text{ antisym}$$

$$\text{oder } L=1 \quad M=0 \quad (1, 1; 1, -1 | 1, 0) = \frac{1}{\sqrt{2}}$$

$$(1, -1; 1, 1 | 1, 0) = -\frac{1}{\sqrt{2}}$$

$$\Psi_{1,0,1,1} = \frac{1}{\sqrt{2}} (|1, 1\rangle |1, -1\rangle - |1, -1\rangle |1, 1\rangle)$$

die CGK enthalten Info über Pauli-Prinzip und Antisymmetrisierung der Wellenfunktion.

z.B. daß es Kopplung $|1, 0\rangle |1, 0\rangle$ zu $|1, 0\rangle$ nicht gibt

$$(1, 0; 1, 0 | 1, 0) = 0$$

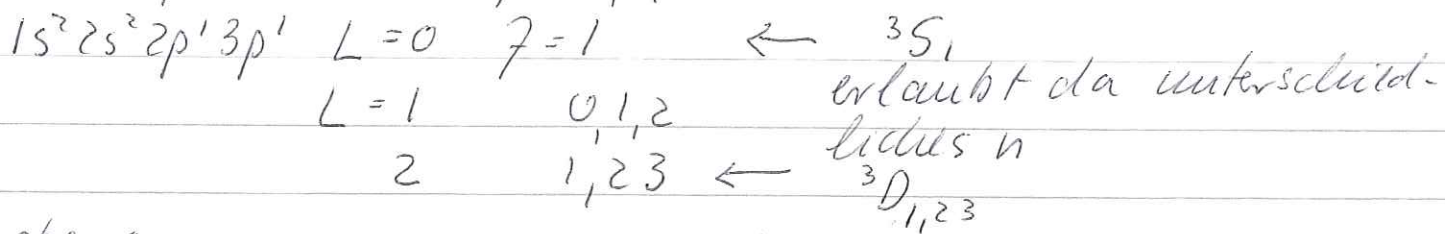
das Spektrum zerfällt wir in He in Singulett und Triplet - Teil zwischen denen es keine Übergänge gibt mit Emission 1 Photons ($J=0$)

Fig 1-13

außer den oben beschriebenen Zuständen, die aus $1s^2 2s^2 2p^2$ bestehen

- Anregung eines der beiden p-Elektronen Raumf $1s^2 2s^2 2p^1$ plus 1 Elektron in $3s, 3p, 3d, 4s, \dots$
- Anregung eines der beiden s-Elektronen nach $2p$ $1s^2 2s^1 2p^3$ nennt man sp^3 -Zustände kostet ca 8 eV Energie

Triplet-Spektrum: zusätzlich zu Grundzustand und anderen 3P -Zuständen



ebenso

Singulett und $1s^2 2s^2 2p^1 3p' \quad L=1 \quad J=1 \quad ^1P_1$ -Zustand

Wie findet man die Zustände theoretisch?

- wegen fehlender Kugelsym. des Potentials V keine analytischen Lösungen der Schr. Gl.
- selbst für wenige Elektronen numerische Lösung nur mit großen Rechnern aufwendig
- man macht ein vereinfachtes Modell, das sich leicht numerisch lösen lässt

General: Modelle spielen in der Physik eine sehr wichtige Rolle. Insbesondere um komplexe Vielteilchenprobleme zu lösen. Vereinfachung muss wichtigste Effekte einschließen. Für Verallgemeinergungen kann korrigiert werden

"Modell unabhängiger Elektronen" für Mehrlektronen-Atome

- Kernladung und zeitlich geänderte Bewegung der anderen Elektronen ergeben für ein Elektron ein effektives Kugelsym. Potential $V_{eff}(r)$
- in diesem $V_{eff}(r)$ bewegt sich Elektron unabhängig von allen anderen Elektronen → Ein-Teilchen-Problem.

finde Ein-Teilchen Wellenfunktion ψ_i und Ein-Teilchen-Energiezustände $E_i(n_i, l_i, m_i)$

- gesuchte Wellenfunktion ist Produkt wellenfunktion der ψ_i : $\Psi(\vec{r}_1, \vec{r}_2, \dots, \vec{r}_n) = \psi_1(\vec{r}_1) \cdot \psi_2(\vec{r}_2) \dots \psi_n(\vec{r}_n)$
- Kombinierte Symmetrisierung durch linear-kombinierende antisym. Wellenfunktionen wird als Determinante geschrieben

"Slater-Determinante"

$$\Psi = \begin{vmatrix} \psi_1(r_1) & \psi_1(r_2) & \dots & \psi_1(r_n) \\ \psi_2(r_1) & \vdots & & \vdots \\ \vdots & \vdots & & \vdots \\ \psi_n(r_1) & \psi_n(r_2) & \dots & \psi_n(r_n) \end{vmatrix}$$

dann wird $V_{\text{eff}}(r_i)$ für i -tes Elektron

$$-e^2 \left(\frac{Z}{r_i} - \sum_{j \neq i} \int \frac{1}{r_{ij}} |\psi_j(r_j)|^2 dr_j \right)$$

anziehende
Kernladung
Ze

Abschirmung von Ze
durch Summe der
Beiträge der j anderen
Elektronen

} die ψ_j werden
durch Iterations-
verfahren gefunden
"Hartree-Verfahren"
nach Douglas R. Hartree
startend mit einem
gesuchten Potential oder
Näherung \rightarrow Min Energie

1.6 LS und jj Kopplung in Atomen

kurze Wiederholung: Elektronenzustände in Atomen
char. durch

1. Schrödigergl. und direkte Lösungen für unabhängige Elektronen in effektivem Radialfeld
(gefunden z.B. durch Hartreeverfahren)

$$H = \sum_{i=1}^n \left(-\frac{\hbar^2}{2m} \Delta_{r_i} + V_{\text{eff}}(r_i) + \hat{H}_{\text{rest}}(r_{ij}) \right)$$

↳ nicht durch das Radialfeld beeinflusste RestWW, z.B. Austauschink.

2. Für die einzelnen Elektronen gibt es Spin-Bahn-WW (siehe Wassersstoff)

$$H_{SB} = \sum_{i=1}^n c(r_i) \hat{L}_i \cdot \hat{S}_i \quad \leftarrow \text{Ternie lieben sich für gefüllte Unterschalen weg}$$

Hinzu kommt die bisher besprochenen Atome charakterisiert durch Hauptquantenzahl, Gesamtangularimpulsquantenzahl L , Gesamtspin S . Wenn Spin-Bahn-Kopplung ein kleiner Effekt, können wir sie zunächst ignorieren (Na: 2.1 meV)

dann ist Gesamtbaudrehimpuls eine Erhaltungsgröße $\hat{\vec{L}} = \sum_{i=1}^n \hat{\vec{L}}_i$ mit $[\hat{\vec{L}}, \hat{H}] = 0$ und $[\hat{\vec{L}}_z, \hat{H}] = 0$

ebenso für Gesamtspin

$$\hat{\vec{S}} = \sum_{i=1}^n \hat{\vec{S}}_i \quad [\hat{\vec{S}}^2, \hat{H}] = 0 \text{ und } [\hat{S}_z, \hat{H}] = 0$$

d.h. Eigenzustände beschrieben durch Satz von Quantenzahlen $|n, L, M_L, S, M_S\rangle$

"LS"- oder "Russel-Saunders"-Kopplung

(nach Henry M. Russel und Frederick A. Saunders, die dies zur Interpretation stellaren spektrum 1925 anwandten)

$$\hat{\vec{L}}^2 \Psi = L(L+1) \hbar^2 \Psi$$

$$\hat{L}_z \Psi = M_L \hbar \Psi$$

$$\hat{\vec{S}}^2 \Psi = S(S+1) \hbar^2 \Psi$$

$$\hat{S}_z \Psi = M_S \hbar \Psi$$

$L = (l_1 - l_2 |, |l_1 - l_2| + 1, \dots, l_1 + l_2)$ für 2 Elektronen etc.

wie die $|L, M_L\rangle$ und $|S, M_S\rangle$ -Zustände aus den einzelnen Elektronenzuständen gebildet werden, siehe lehre Vorlesung (S. 1-16) für Kohlenstoff: Produkt der Teilchenwellenfunktionen gerichtet auf Clebsch-Gordan-Koeff., dann Summation über alle M_i, m_j

jetzt Spin-Bahn-Kopplung als kleine Störung:

- \hat{L}_z und \hat{S}_z kommutieren nicht mit $\hat{\vec{L}} \cdot \hat{\vec{S}}$
(siehe Wasserstoff 3. Semest.)
- allerdings kommutieren $\hat{\vec{J}} = (\hat{\vec{L}} + \hat{\vec{S}})^2 = \hat{\vec{L}}^2 + \hat{\vec{S}}^2 + 2\hat{L} \cdot \hat{S}$ und \hat{J}_z
ohne externes Feld ist der Gesamtdrehimpuls eine

Erhaltunggröße

dadurch entscheiden neue Gitterzustände

$$|n, L, M_L, S, M_S\rangle \rightarrow |n, L, S, J, M_J\rangle$$

mit $E_{SB} = c (J(J+1) - L(L+1) - S(S+1))$

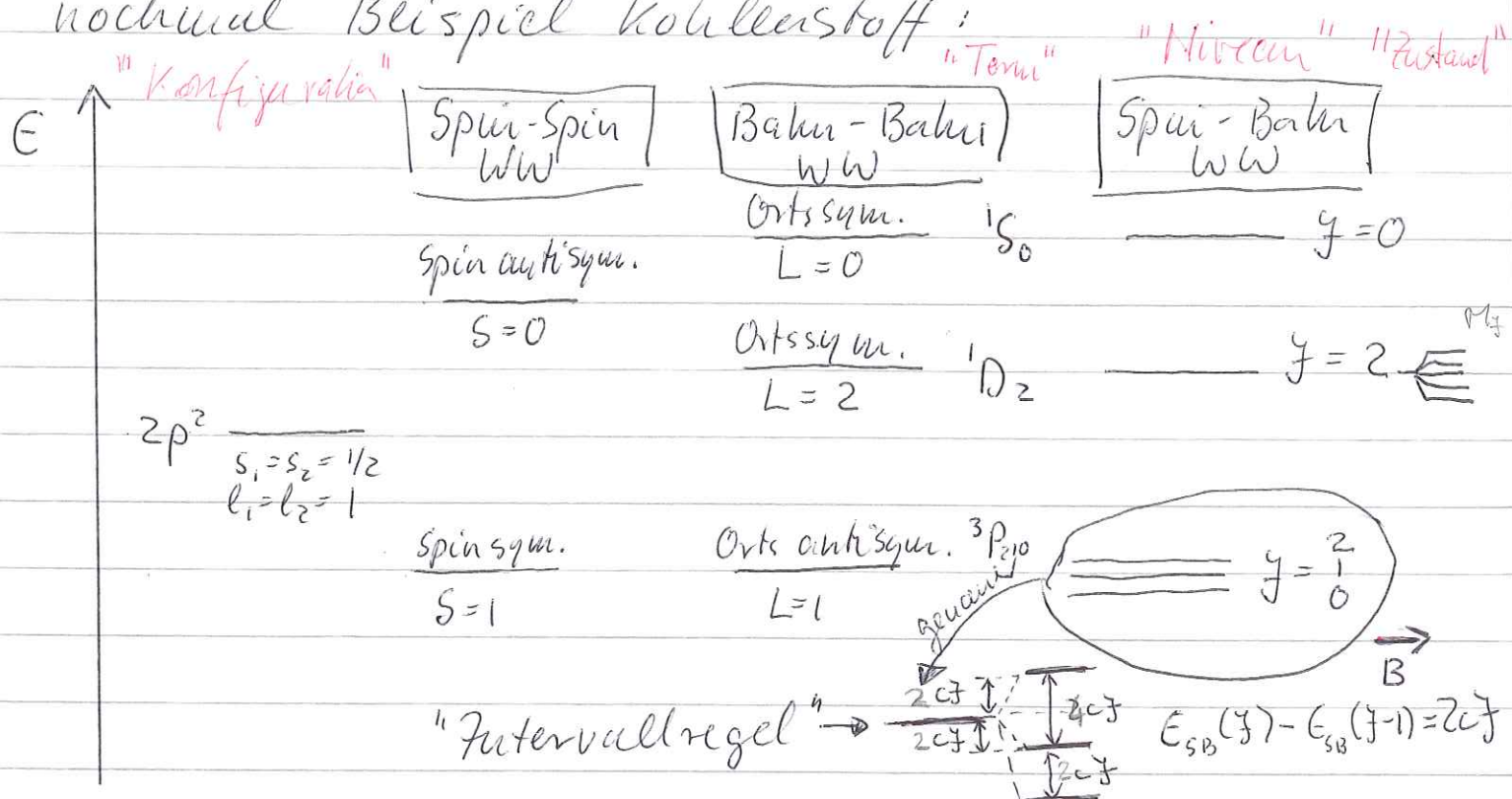
Vorzeichen der 3. Hundssche Regel

positiv für weniger als halb gefüllte Schale
negativ " mehr "

$$|n, L, S, J, M_J\rangle = \sum_{M_L, M_S} c_{M_L M_S} \underbrace{|n, L, M_L, S, 0\rangle}_{|n, L, M_L\rangle \neq |S, M_S\rangle}$$

CG Koeffizient verschwindet falls $M_L + M_S \neq M_J$

nochmal Beispiel Kohlenstoff:



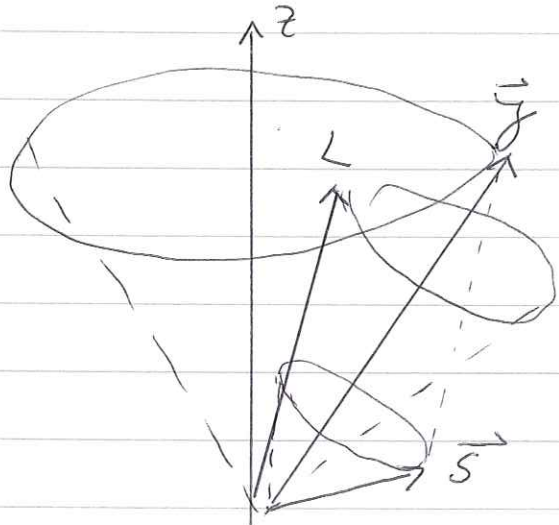
Werte von J : $J = |L-S|, |L-S|+1, \dots, L+S$

Symmetrie unter Vertauschung von 2 Elektronen

$$P_{1,2} \Psi = (-1)^{L+S+1} \Psi$$

Größe der Spur-Bahn aufspaltung $\propto \frac{Z^4 \chi^4}{n^3}$
im Fall der LS-Kopplung ist

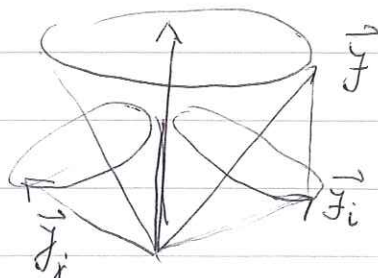
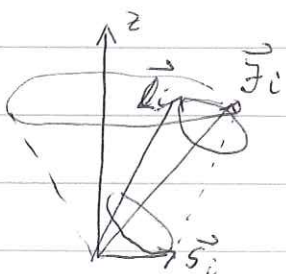
- Spurbahn Feinstrukturaufspaltung klein gegen Abstand der Terme mit verschiedenen L und S (im Na O(1eV) im Vergleich zu ZweiteV) u. RestWW
- für starke Kopplung von 2 Vektoren \vec{L} und \vec{S} schnelle Präzession um resultierenden Vektor \vec{J}



gilt für leichten Atome
mit kleinen Z

"gerade Quantenzahlen"
 L, S, F, Ω_f

da starke Spur-Bahn Kopplung mit Z^4/n^3 verläuft
gilt für schwere Atome mit großen Z
 $\vec{\mu}_i = \vec{L}_i + \vec{S}_i$ Spur und Bahndrehimpuls jedes einzelnen Elektrons koppeln zu totalem Bahndrehimpuls und die $\vec{\mu}_i$ koppeln zu totalem Bahndrehimpuls aller Elektronen "FF-Kopplung"
Übergang graduell, dominieren weitere Aufspaltungen vergleichbar mit Energieunterschieden zwischen den Sozialen Subwertvektoren in einer Schale



\vec{L}_i und \vec{S}_i präzidieren schnell um \vec{J}_i
 $\vec{J}_i, \vec{\Omega}_f$ präzidieren langsam um \vec{F}

Beispiel: $3s2p$ -Konfiguration, die wir bereits im C hatten $1s^2 2s^2 2p^1 3s^1$ und $^3P_{0,1,2}$ und 1P_1 in LS-Kopplung in jj $\ell=1s=\frac{1}{2} \rightarrow j=\frac{3}{2}, \frac{1}{2}$ $\ell=0 s=\frac{1}{2} j=\frac{1}{2}$

in Sn $6s_{1/2} 5p_{1/2}$ koppeln zu $J=0,1 \quad \left. \begin{array}{l} J=0 \\ J=1,2 \end{array} \right\} 2 \text{ Dupletts}$
 $6s_{1/2} 5p_{3/2}$

- Anzahl der Terme ist in beiden Fällen gleich groß
- Niveaus eindeutig identifiziert durch ihr J , können entsprechend zunehmender Kopplungsstärke verfolgt werden ~~Fig. 1-15~~ Hieraus mit gleichen J können wirsehen, wie die beiden $J=1$ Zustände
- ungesättigte Zustände erfahren lineare Verschiebung in Energie auf zunehmende Kopplungsstärke c
- Auswahlregeln für Übergänge ändern sich immer gütig für elektrische Dipolübergänge

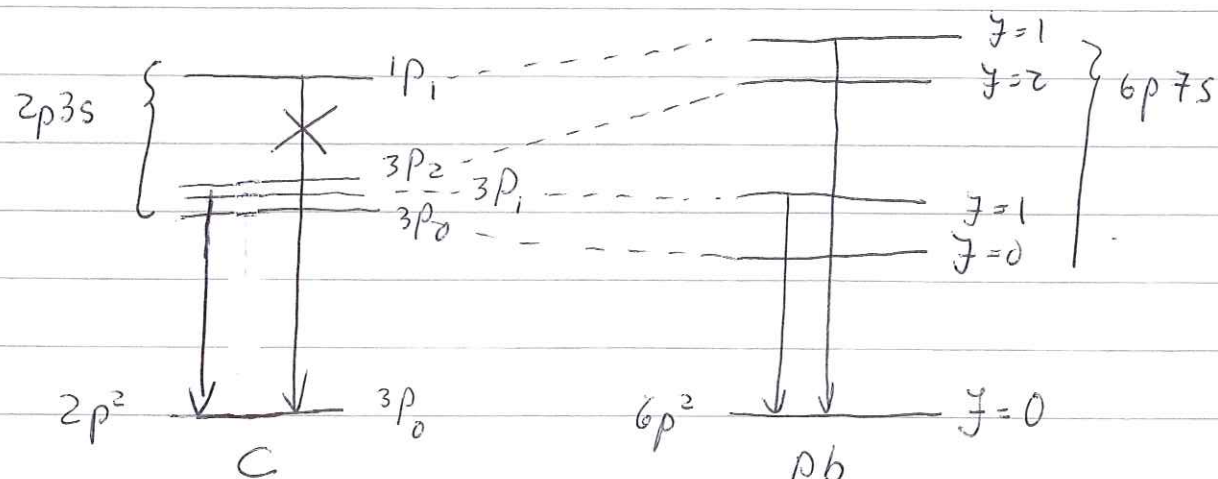
$$\Delta J = 0, \pm 1 \quad (\text{nicht } J=0 \rightarrow J'=0)$$

$$\Delta M_J = 0, \pm 1 \quad (\text{nicht } M_J=0 \rightarrow M_J=0 \text{ für } \Delta J=0) \quad \left. \begin{array}{l} \text{Niveau} \\ \text{Zustand} \\ \text{Parität wechselt} \end{array} \right\}$$

$$\Delta L = \pm 1 \quad \text{Einfachheitserregung}$$

$$\Delta L = 0, \pm 1 \quad (\text{nicht } L=0 \rightarrow L'=0) \quad \left. \begin{array}{l} \text{aber für LS-Kopplung} \\ \text{Ternum} \end{array} \right\}$$

$$\Delta S = 0$$



1.7 Anregungen von Atomen

durch Absorption von Photonen oder inelastische Stoße

- Einfach anregung: ein Elektronenübergang wird in höheren Zustand angeregt
typisch 1-10 eV
- Spontane Zerfall durch Emission eines Photons
präferentiell elektronische Dipolübergänge
mittlere Lebensdauer $\propto (\text{Matrixelement})^2 \propto |\langle \Psi_2 | e \vec{r} | \Psi_1 \rangle|^2$
für erlaubte Übergänge auf ns - Zeitskala
 $\text{He } 2^1P_1, \tau = 0.5 \cdot 10^{-9} \text{ s} \rightarrow 1^1S_0$
 $\text{H}\alpha \ 3^2P_{3/2} \quad 16 \cdot 10^{-9} \text{ s} \rightarrow 3^2S_{1/2}$
 sehr kleine Übergangswahrscheinlichkeit \rightarrow
 "metastabile Zustände"
 $\text{He } 2^1S_0, \tau = 19.6 \text{ ms} \quad \Delta L=0 \quad \Delta J=0 \quad (0 \rightarrow 0) \quad 2 \text{ Photonen}$
 $\text{He } 2^3S_1, \tau = 7870 \text{ s} \approx 2 \text{ h!} \quad \Delta S=1$
- wenn Anregungsenergie oberhalb Ionisationsenergie
 \rightarrow Photoionisation $\gamma + \text{Atom} \rightarrow A^+ + e^-$

Mehrfachanregung:

Anregung von z.B. 2 Elektronen gleichzeitig

- Zerfall in Grundzustand durch Emission von zwei Photonen
- ein Elektron absorbiert Anregungsenergie auf das andere Elektron und fällt in Grundzustand das andere Elektron wird weiter angeregt (da diskrete Energien \rightarrow sehr unwahrscheinlich)
oder, wenn genügend Energie übertragen wurde, ins Kontinuum ($E > 0$) \rightarrow "Autionisation"

- Loch in innerer Schale kann durch schwärme gebundenes Elektron gefüllt werden bei gleichzeitiger Röntgenemission $h\nu = E_i - E_k$ oder

Energiedifferenz wird auf anderes Elektron übertragen. Ist dessen Bindungsenergie $E_B < E_i - E_k$ tritt Ionisation ein.

"Augeneffekt" mit $E_{kin} = E_i - E_k - E_B$ charakteristische Energien als Differenzen zwischen Bindungsenergien "Peaks" im Spektrum "Augenlinien"